

アスファルト混合物の複素弾性率変化について

山口大学工業短期大学部 正員 ○ 上田 満
正員 鈴木 繁人

1. ま え が き

アスファルト混合物の疲労試験をひずみ制御方式にて行なうとき、単に疲労破壊回数のみを問題にするのではなくその破壊過程も重要であると考えられる。そこで入力波形として正弦波を採用した場合、破壊に致るまでに複素弾性率がいかに変化するかを複素弾性率の低下率により論じた。さらに複素弾性率はそのベクトル成分として動的弾性率、損失弾性率に分けられこれらの載荷とともにどのように変化するかを検討した。実験の結果複素弾性率の低下率と加えたひずみ、温度、周波数等に密接な関係が存在し、位相角の増大等が明らかになった。

2. 使用材料および実験方法

使用したアスファルト混合物はサンドアスファルト、密粒度アスコン、グースアスファルトの三種でバインダーはストレートアスファルトで針入度級の異なる二種のものでありこれらは表-1に示されている。載荷方式は4点曲げ試験で供試体作製方法、載荷方式ともに既発表論文と同一のもので省略する。実験条件としては温度を5℃、10℃、5℃、0℃、-5℃、周波数を20Hz、10Hz、5Hz、2.5Hz、と四段階に変化させ各々の場合について複素弾性率変化をみた。

表 - 1

Sieve opening (mm)	San. As. (%) passing	Den. G. As. (%) passing	Gussas. (%) passing	Binder
20.0		100.0	100.0	St. as.
13.0		97.8	86.9	60/80
10.0	100.0	86.7	73.8	Pen. 72
5.0	84.1	58.0	65.7	Tr&b 47.5
2.5	70.7	34.7	51.7	P.I. -1.3
0.6	49.5	19.5	41.2	20/40
0.3	41.0	14.8	32.1	Pen. 35
0.15	35.0	11.2	28.6	Tr&b 58.2
0.074	29.3	8.5	24.8	P.I. -0.2
As. content	8 %	6 %	8 %	

3. 繰返し載荷による複素弾性率の変化

ひずみ制御方式にて疲労試験を行なうと複素弾性率は図-1に示すように変化を遂げる。そこで図における直線Lの勾配を複素弾性率の低下率とする。また粘弾性体に周期的ひずみが加えられた場合にひずみを $\epsilon = \epsilon_0 e^{i\omega t}$ とすれば応力は $\sigma = \sigma_0 e^{i\omega t}$ となり σ_0/ϵ_0 は複素数となる。そこで $\sigma_0/\epsilon_0 = E^*$ とすればこれが複素弾性率である。

さらに $E^* = E' + iE''$

となりその大きさは

$$|E^*| = \sqrt{(E')^2 + (E'')^2}$$

となりリスファネスと同じものと考えられる。応力とひずみの位相のずれより得られる位相角 δ の $\tan \delta$ は損失正接といわれ $\tan \delta = E''/E'$ で表わされ、 E' は複素弾性率の実数部で動的弾性率、 E'' は虚数部で損失弾性率と呼ばれている。(これらの大きさは $E' = |E^*| \cos \delta$, $E'' = |E^*| \sin \delta$)

複素弾性率をベクトル的に図で示したものが図-2で、図における δ の載荷回数依存性を検討した。一般に位相角は増大し、図のベクトル E_1^* から E_2^* に変化する。

4. 実験結果

加えたひずみと複素弾性率の低下率(以下C.D.C.M.と称ぶ)の関係が両対数紙面上図-3に示されている。この図よりひずみの増大にともなってC.D.C.M.も大と

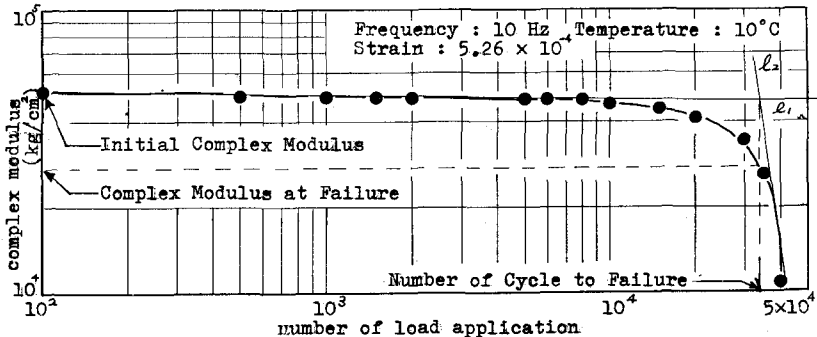


図 - 1

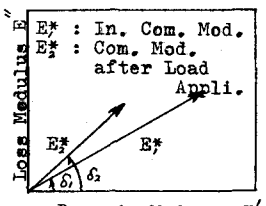


図 - 2

なり、この直線の勾配は各配合についてほとんど同一であると思われる、直線が平行に移動するだけであろう。また実際の舗装(表層の最下部)に生ずるひずみは 10^{-5} のオーダーであるといわれ、この程度のひずみにおいてはC.D.C.M.はおよそ 10^{-4} ~ 10^0 のオーダーで、はなはだ小さいものと考えられる。

さらに密粒度アスコンにおいて温度を 10°C とし、周波数を2.5, 5, 10, 20倍と変化させたときのC.D.C.M.の変化が図4に示されている。これをみれば周波数が大になればC.D.C.M.は小さくなることを示しており、この場合も直線の勾配はひずみが変わらなくても変わらないうちで平行移動する。

周波数は載荷時間と関係が深く、周波数が大になるということは実際の舗装体を対象に考えた場合、車輪速度が大になることに相当する。したがって車輪速度が大になればC.D.C.M.は小さくなる。また温度変化によるC.D.C.M.変動が片対数紙面上の図5に示されており、当然予想されるようにC.D.C.M.は温度の低下とともに小さくなりこの低下率が一定になる。

複素弾性率は前述のように損失弾性率、動的弾性率に分けられ動的弾性率は複素弾性率とほとんど同じような低下をみせるが、損失弾性率は一度増加しある一定値を保った後に徐々に低下する。

図6の場合初期の損失正接は0.25で破壊直前では0.51となり2倍程度にまで増加する。

5. ま と め

以上の結果より複素弾性率の低下率とひずみ、温度、周波数等に密接な関係が存在し、両対数または片対数グラフにおいて直線が代表されようである。また位相角は載荷回数が増大にもなって大となり、損失弾性率は多少ばらつきはあるが一般的な傾向として、いったん増加しある一定値付直を上下し破壊が近づくにつれて減少する。また動的弾性率は複素弾性率と同様、載荷回数とともに減少する。さらに複素弾性率の低下率は実際の舗装を考えると大きくても 10^3 のオーダーでありはなはだ小さいものと思われる。今後の課題として、曲げ疲労試験において破壊包絡線理論が適用されるかどうかの検討を行ないたい。

参 考 文 献

- 1) 工田 錦, 第30回土木学会中国四国支部研究発表会論文集(1978)
- 2) Kobayashi, et. al. "Evaluation of the feasible pavement on the Jomei Expressway by Fatigue Cracking Concept, Proc. of J.S.C.E. No.211(1973).

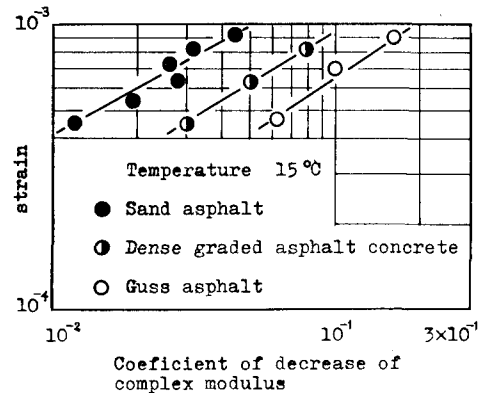


図 - 3

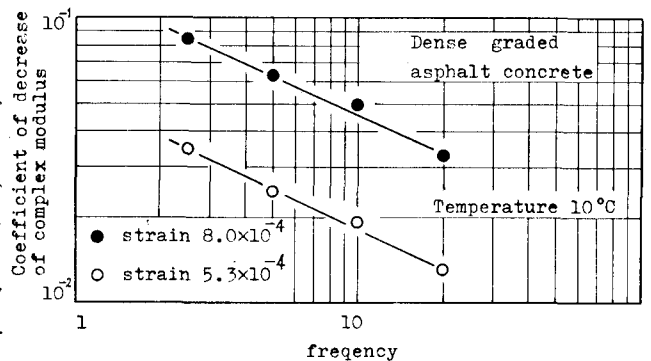


図 - 4

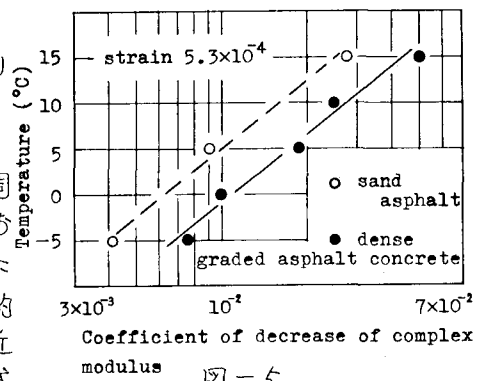


図 - 5

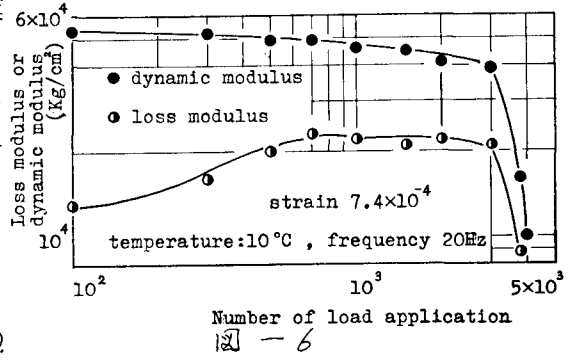


図 - 6